

## Vorlesung 23

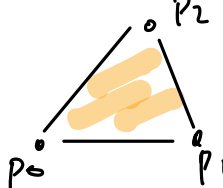
## Homologie cont'd

Zuletzt haben wir den freien  $\mathbb{F}_2$ -Vektorraum über den  $n$ -Simplices in einem simpliciellen Komplex  $K$  definiert.

$$C_n(K) = \mathbb{F}(\{n\text{-simplices in } K\})$$

Wir sehen  $C_{-1}(K) = \emptyset$ .

### Beispiel 23.1



$$C_1(K) = \{ a \cdot [p_0, p_1] + b [p_0, p_2] + c [p_1, p_2] \mid a, b, c \in \mathbb{F}_2 \}$$

$$C_0(K) = \{ a [p_0] + b [p_1] + c [p_2] \mid a, b, c \in \mathbb{F}_2 \}.$$

$$C_2(K) = \{ a [p_0, p_1, p_2] \mid a \in \mathbb{F}_2 \}$$

### Definition 23.2

Der Randoperator ist die lineare Abbildung

$$\partial_n: C_n(K) \longrightarrow C_{n-1}(K).$$

definiert als

$$\partial_n ([p_0, \dots, p_n]) = \sum_{i=0}^n [p_0, \dots, \hat{p}_i, \dots, p_n]$$

$$\text{In obigem Beispiel: } \partial_2([p_0, p_1, p_2]) = [p_0, p_1] + [p_1, p_2] + [p_0, p_2]$$

### Proposition 23.3

Für alle  $n \geq 1$ :  $\partial_{n-1} \circ \partial_n = 0$ .

#### Beweis

Sei  $[p_0, \dots, p_n] \in C_n(K)$ . Dann gilt:

$$\begin{aligned} (\partial_{n-1} \circ \partial_n)([p_0, \dots, p_n]) &= \partial_{n-1} \left( \sum_{i=0}^n [p_0, \dots, \hat{p}_i, \dots, p_n] \right) \\ &= \sum_{1 \leq i, j \leq n, i \neq j} [p_0, \dots, \hat{p}_i, \dots, p_n] \wedge [p_i, p_j] = 0, \end{aligned}$$

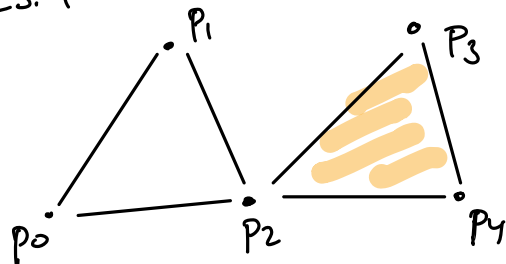
weil jeder Summand 2-mal vorkommt.  $\square$

Proposition impliziert, dass  $\text{Im}(\partial_n) \subseteq \ker(\partial_{n-1})$

Wir wissen auch, dass  $\text{Im}(\partial_n)$  alle Ränder von n-Simplices in K umfasst. Dagegen interpretieren wir  $\ker(\partial_{n-1})$  als Menge aller  $(n-1)$ -dim. poinziellen Ränder in K.

D.h. die Diskrepanz zwischen  $\text{Im}(\partial_n)$  und  $\ker(\partial_{n-1})$  beschreibt Löcher mit  $(n-1)$ -dim. Rand.

Beispiel 23.4



$$v = \{p_2, p_3\} + \{p_3, p_4\} + \{p_2, p_4\} \in \text{Im}(\partial_2)$$

$$w = \{p_0, p_1\} + \{p_0, p_2\} + \{p_1, p_2\} \in \ker(\partial_1)$$

w und v+w beschreiben das gleiche Loch, wobei v+w nur ein extra Rande um das rechte Dreieck geht.

w und v+w werden in  $\ker(\partial_1) / \text{Im}(\partial_2)$  identifiziert.

Wir interpretieren die Elemente in  $\ker(\partial_1) / \text{Im}(\partial_2)$  als Löcher!

Definition 23.5

Sei K ein simplizialer Komplex. Der n-te Homologe Vektorraum von K ist

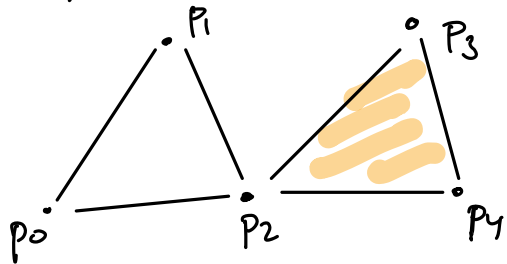
$$H_n(K) := \frac{\ker(\partial_n)}{\text{Im}(\partial_{n+1})}$$

Die n-te Betti-Zahl ist  $\beta_n(K) := \dim H_n(K)$ .

Wir interpretieren  $\beta_n(K)$  als die Anzahl der Löcher in  $K$  mit  $n$ -dimensionalen Rand.

Wir werden gleich zeigen, dass  $\beta_0(K) = \#$  Zusammenhangskomp von  $K$ .

Beispiel 23.6.



$$C_2(K) = \text{span}(\{p_2, p_3, p_4\})$$

$$C_1(K) = \text{span}(\{p_0, p_1\}, \{p_1, p_2\}$$

$$\{p_0, p_2\}, \{p_2, p_3\}$$

$$\{p_2, p_4\}, \{p_3, p_4\})$$

$$C_0(K) = \text{span}(\{p_0\}, \{p_1\}, \{p_2\}, \\ \{p_3\}, \{p_4\}).$$

$$\text{Im}(\partial_2) = \text{span}(\underbrace{\{p_2, p_3\} + \{p_2, p_4\} + \{p_3, p_4\}}_{\vee})$$

$$\text{ker}(\partial_2) = \text{span}\{v, w\}, \quad v = \{p_0, p_1\} + \{p_2, p_1\} + \{p_0, p_2\}$$

$$H_1(K) \cong \text{span}\{w\} \rightarrow \beta_1(K) = 1.$$

$$\text{Im}(\partial_1) = \text{span}\{p_0 + p_1, p_1 + p_2, p_2 + p_3, p_3 + p_4\}$$

$$\text{ker}(\partial_1) = \text{span}\{p_0, p_1, p_2, p_3, p_4\} = C_0(K)$$

$$= \text{span}\{p_0, p_0 + p_1, p_1 + p_2, p_2 + p_3, p_3 + p_4\}$$

$$\rightarrow H_0(K) \cong \text{span}\{p_0\} \rightarrow \beta_0(K) = 1.$$

Lemma 23.7

Sei  $K$  ein simplizialer Komplex. Dann ist  $\beta_0(K) = \#$  Zusammenhangs von  $K$ .

Beweis

Seien  $K_1, \dots, K_m$  die Zusammenhangskomp. von  $K$ .

Seien die Knoten in der i-ten Komponente

$$K_i^{(0)} = \{ p_0^{(i)}, \dots, p_{m_i}^{(i)} \}$$

Es ist  $\ker(\partial_0|_{K_i}) = C_0(K_i)$ . Wir haben eine Basis:

$$\ker(\partial_0|_{K_i}) = \text{span} \{ p_0^{(i)}, p_0^{(i)} + p_1^{(i)}, \dots, p_0^{(i)} + p_{m_i}^{(i)} \}$$

Andererseits:

$$\text{Im}(\partial_1) = \text{span} \bigcup_{i=1}^m \{ p_0^{(i)} + p_1^{(i)}, \dots, p_0^{(i)} + p_{m_i}^{(i)} \}$$

$$\rightsquigarrow H_0(K) = \text{span} \{ p_0^{(0)}, \dots, p_0^{(m)} \}$$

$\underbrace{\quad}_{\text{Basis!}}$

$$\Rightarrow \dim H_0(K) = \beta_0(K) = m.$$

□.

In Thm 22.4 haben wir folgende Gleichung bewiesen:

$$\beta_0(K) - \beta_1(K) = \# \{ \text{Knoten} \} - \# \{ \text{Kanten} \} + \# \{ \text{Dreiecke} \} = \chi(K).$$

für einen Komplex in  $\mathbb{R}^2$ .

Wir verallgemeinern das zu allgemeinen Komplexen.

### Definition 23.8

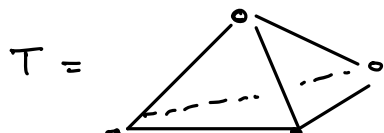
Sei K ein simplizialer Komplex und set  $k_i = \# \text{ i-dim Simplices in } K$ .

Die Euler-Charakteristik von K ist

$$\chi(K) := \sum_{i \geq 0} (-1)^i k_i.$$

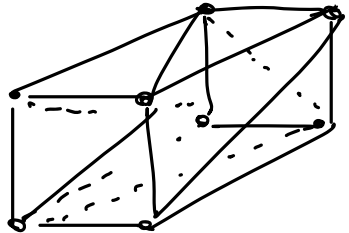
### Beispiel 23.9.

$$\chi(T) = 4 - 6 + 4 = 2$$



$$\beta_0(T) = 1, \beta_1(T) = 0, \beta_2(T) = 1$$

$\omega =$



$$\chi(\omega) = 8 - 18 + 12 = 2$$

$$\beta_0(\omega) = 1, \quad \beta_1(\omega) = 0, \quad \beta_2(\omega) = 1$$

Theorem 23.9 (Euler-Poincaré Formel).

Sei  $K$  ein simplizialer Komplex. Es gilt:

$$\chi(K) = \sum_{i \geq 0} (-1)^i \beta_i(K),$$

Beweis

Es ist  $k_i = \dim C_i(K) = \dim(\ker(\partial_i)) + \dim(\text{Im}(\partial_i))$  mit  $\dim(\text{Im}(\partial_0)) = 0$ .

Dann gilt:

$$\begin{aligned} & \sum_{i \geq 0} (-1)^i \beta_i(K) \\ &= \sum_{i \geq 0} (-1)^i (\dim \ker(\partial_i) - \dim \text{Im}(\partial_{i+1})) \\ &= \sum_{i \geq 0} (-1)^i \dim \ker(\partial_i) + (-1)^{i+1} \dim \text{Im}(\partial_{i+1}) \\ &= \sum_{i \geq 0} (-1)^i (\dim \ker(\partial_i) + \dim \text{Im}(\partial_i)) \\ &\rightarrow \sum_{i \geq 0} (-1)^i k_i \end{aligned}$$

□

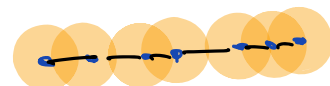
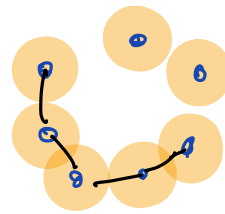
Diese Ideen helfen uns nun in TDA.

Wir haben nun Konzepte entwickelt, Löcher algebraisch zu definieren und auszurechnen.

Dies führt zu folgendem Algorithmus in TDA:

Input: Daten  $\{x_0, \dots, x_n\} \subseteq \mathbb{R}^D$ ,  $r > 0$ .

- 1) Berechne  $K = C_r(P)$  oder  $K = VR_r(P)$ .
- 2) Berechne  $\beta_n(K)$ ,  $n = 0, 1, -$
- 3) Return  $\beta_n(K)$ ,  $n = 0, 1, -$



Das Problem dabei ist die Wahl von  $r$

$r$  zu klein  $\rightarrow$  wir sehen nur einzelne Punkte

$r$  zu groß  $\rightarrow$  Löcher werden geschlossen.

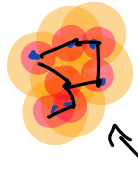
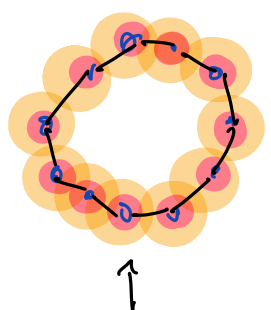
Idee um das Problem zu umgehen: Persistent Homology.

Ansatz: Anstatt ein festes  $r$  zu wählen, lassen wir  $r$  über ein Intervall laufen.

Input: Daten  $\{x_0, \dots, x_n\} \subseteq \mathbb{R}^D$ ,  $0 < r_1 < r_2 < r_3 < \dots < r_m$

- 1) Berechne  $K_i = C_{r_i}(P)$  oder  $K_i = VR_{r_i}(P)$ .  $i = 1, \dots, m$
- 2) Berechne  $\beta_n(K_i)$ ,  $n = 0, 1, -$ ,  $i = 1, \dots, m$ .
- 3) Return  $\beta_n(K_i)$ ,  $n = 0, 1, -$ ,  $i = 1, \dots, m$ .

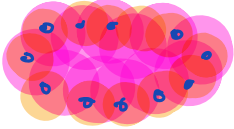
Dabei interpretieren wir Betti Zahlen, die für viele aufeinanderfolgende  $r_i$  konstant bleiben, als echte Signale der Daten.



Loch schließt sich schnell  
 $\leadsto$  Noise.

Loch bleibt für eine  
Weile bestehen und echtes Signal

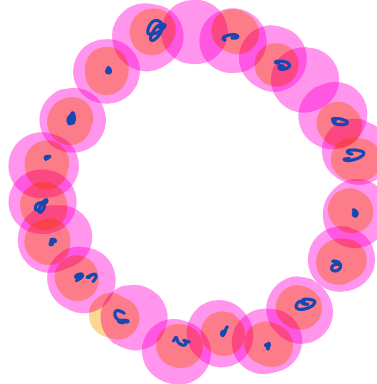
Es gibt immer noch ein Problem. Betrachte folgendes Szenario:



$$\beta_1(K_1) = 1$$



wir sehen den linken Kreis



$$\beta_1(K_2) = 1$$



wir sehen nur den rechten Kreis.

Aber es kann sein, dass sich der linke Kreis etwa zu dem  
Randkreis schließt, wenn der rechte Kreis entsteht.

Dazu müssen wir persistenten Betti-Zahlen definieren